

величинах деформации последняя может перераспределяться между частицами таким образом, что единичные нарушения у каждой частицы не обязательно приводят к образованию трещин.

Итак, можно высказать следующие предположения о возможном механизме распухания урана. Разрушение урана под облучением вследствие образования трещин механического происхождения может наблюдаться в узком интервале температур вблизи 400° С. Упрочнняя границы зерен, можно сместить этот интервал в сторону более высоких температур. При этом ввиду активации диффузационной подвижности внутри зерна условия для образования трещин будут менее благоприятными и ускоренное распухание, связанное с образованием трещин, может прекратиться. При высоких скоростях облучения, когда напряжения радиационного роста сохраняются до температур 450—550° С, должна наблюдаться другая форма ускоренного

распухания урана: образование у границ зерен и других поверхностей раздела фаз сферических пор диффузационного происхождения при температурах выше 500° С. Как следует из проведенного выше анализа, дисперсные частицы могут существенно ограничивать скорость роста таких пор.

Поступила в Редакцию 19/XII 1970 г.

В окончательной редакции 4/V 1970 г.

#### ЛИТЕРАТУРА

1. M. S pe i g h t, G. G re e n w o o d. J. Nucl. Materials, 16, 327 (1965).
2. J. H a r r i s o n. J. Nucl. Materials, 23, 139—153 (1967).
3. D. T a p l i n. J. Austral. Inst. Metals, 12, 32—44 (1967).
4. P. G r e n i e r, P. L a c o m b e. J. Nucl. Materials, 22, 3, 241—256 (1967).
5. J. H o l m e s. Trans. Amer. Soc. Metals, 59, No. T-I (1966).
6. В. Е. Иванов. «Атомная энергия», 29, 178 (1970).
7. S. B u c k l e y. AERE-R, 5262, 1966.

## Подбарьерное деление $Pu^{238}$ нейtronами

С. Б. ЕРМАГАМБЕТОВ, Г. Н. СМИРЕНКИН

УДК 539.173.4

Ход сечения деления  $\sigma_f$   $Pu^{238}$  быстрыми нейтронами, так же как у большинства четно-четных ядер-мишеней, имеет «пороговый» характер и, как показал анализ [1], в области нескольких сот килоэлектронвольт удовлетворительно согласуется с монотонной экспоненциальной зависимостью средней делительной ширины:

$$\Gamma_f(E_n) \sim P(E_n) = \\ = \left[ 1 + \exp \left( 2\pi \frac{E_f - B_n - E_n}{\hbar \omega} \right) \right]^{-1}, \quad (1)$$

где  $P$ ,  $E_f$ ,  $\hbar \omega$  — соответственно проницаемость, высота и параметр кривизны барьера деления. Однако величина  $\Gamma_f(0) \approx 30—50$  Мэв, полученная из этого анализа путем экстраполяции делительной ширины к  $E_n = 0$ , в несколько десятков раз превосходит тепловое значение  $\Gamma_f^t$ , приблизительно равное 1 Мэв, которое легко определить по радиационной ширине  $\Gamma_\gamma \approx 30$  Мэв, сечениям деления и поглощения, равным соответственно 18 и 615 барн [2]. В 1965 г. в работе [3] были даны экспериментальные верхние оценки делительных ширин  $\Gamma_{fr}$  для трех первых резонансов реакции  $Pu^{238} + n$ , приведенные в табл. 1. Они свидетельствовали о еще более

сильном несоответствии между  $\Gamma_{fr}$  и  $\Gamma_f(0)$ . Более поздние результаты измерений [4], также приведенные в табл. 1, показали значительно большую делимость  $Pu^{238}$   $s$ -нейтронами. Определенная по десяти первым резонансам средняя делительная ширина  $\bar{\Gamma}_{fr}$  составила около 5 Мэв, что значительно больше значений Джеймса [3], но по-прежнему существенно меньше величины  $\Gamma_f(0)$  из работы [4].

Соотношение  $\Gamma_{fr}/\Gamma_f(0) \ll 1$  реализуется у многих ядер и получило истолкование в рамках представлений о двугорбом барьере деления [5] как следствие промежуточной структуры сечений в резонансной области энергий нейтронов.

Данные о делительных Таблица 1  
ширинах (Мэв)  $Pu^{238}$  в эпите-  
ловой области энергий  
нейтронов

Резонансная энергия нейтро- нов, эв	Данные работ	
	[3]	[4]
2,9	0,083	1,2
10,1	0,196	6,8
18,7	0,202	1,6

[6]. Происхождение этой структуры связывается с существованием квазистационарных уровней во второй яме (между горбами). Данная интерпретация допускает значительные отклонения  $\Gamma_{fr}$  от среднего значения в промежутке между уровнями без подавления  $s$ -волны в целом, которое часто предполагалось при обсуждении резкого расхождения  $\Gamma_{fr}$  и  $\Gamma_f(0)$ . Эти следствия модели двухгорбого барьера подтверждаются результатами анализа распределения делительных ширин в реакциях ( $n, f$ ) на  $Pu^{240}$  и  $Np^{237}$  [6], обнаруживающих особенно большой масштаб изменения  $\Gamma_{fr}/\bar{\Gamma}_{fr}$ .

Существующая информация о делении  $Pu^{238}$  резонансными нейтронами недостаточна и, как следует из изложенного выше, очень противоречива. Однако вопрос о роли  $s$ -волны в делении  $Pu^{238}$  может быть решен и иначе: путем исследования  $\sigma_f$  в области более высоких энергий, где отдельные резонансы не разрешаются, но в сечение образования составного ядра  $s$ -волна вносит преобладающий вклад. Такие измерения были выполнены нами на электростатическом генераторе для ядра-мишени  $Pu^{238}$ . Предварительные результаты этих измерений опубликованы в работе [7]. В настоящей работе приводятся уточненные данные и результаты более подробного анализа.

Измерения проводились относительным методом. Эталоном служил  $U^{235}$ . Регистрация осколков деления осуществлялась стеклянными детекторами. Источником нейтронов служила реакция  $T(p, n)$ . Как правило, облучению подвергалась сразу несколько пар делящихся слоев

#### Результаты измерений сечений деления $\sigma_f$ $Pu^{238}$

Таблица 2

$E_n, \text{ кэВ}$	$\sigma_f(Pu^{238}), \text{ барн}$	$E_n, \text{ кэВ}$	$\sigma_f(Pu^{238}), \text{ барн}$
$2,4 \pm 1,3$	$1,70 \pm 0,18$	$420 \pm 15$	$1,14 \pm 0,05$
$5,5 \pm 2,5$	$1,30 \pm 0,42$	$635 \pm 25$	$1,60 \pm 0,06$
$11,3 \pm 6,0$	$0,83 \pm 0,06$	$680 \pm 25$	$1,60 \pm 0,06$
$14,4 \pm 5,0$	$0,88 \pm 0,07$	$770 \pm 25$	$1,67 \pm 0,07$
$25,5 \pm 10$	$0,55 \pm 0,04$	$910 \pm 10$	$2,06 \pm 0,08$
$46,4 \pm 20$	$0,62 \pm 0,04$	$1080 \pm 20$	$2,11 \pm 0,08$
$53 \pm 6$	$0,52 \pm 0,03$	$1210 \pm 20$	$2,13 \pm 0,08$
$70 \pm 7$	$0,50 \pm 0,03$	$1330 \pm 20$	$2,08 \pm 0,08$
$78 \pm 10$	$0,47 \pm 0,02$	$1430 \pm 25$	$2,20 \pm 0,10$
$110 \pm 7$	$0,62 \pm 0,03$	$1500 \pm 20$	$2,15 \pm 0,07$
$120 \pm 10$	$0,53 \pm 0,03$	$1650 \pm 20$	$2,20 \pm 0,10$
$200 \pm 20$	$0,60 \pm 0,03$	$1800 \pm 20$	$2,18 \pm 0,10$
$250 \pm 5$	$0,80 \pm 0,04$	$2000 \pm 20$	$2,30 \pm 0,10$
$290 \pm 20$	$0,84 \pm 0,04$	$2260 \pm 20$	$2,25 \pm 0,09$
$305 \pm 10$	$1,05 \pm 0,05$	$2400 \pm 20$	$2,22 \pm 0,09$
$350 \pm 8$	$1,06 \pm 0,04$		

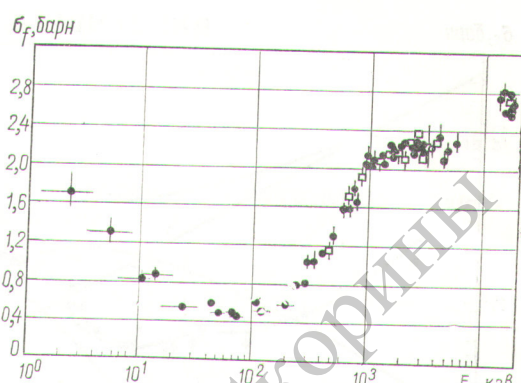


Рис. 1. Зависимость сечения деления  $\sigma_f$   $Pu^{238}$  от энергии нейтронов  $E_n$ :

□ — [9], ▲ — [10], ● — настоящая работа и [8].

и детекторов, установленных под разными углами от 0 до  $150^\circ$  к направлению пучка протонов. Использовавшийся  $Pu^{238}$  был практически изотопически чистым (99,8%), поэтому деление примесей не учитывалось. Относительный ход  $\sigma_f$   $Pu^{238}$ , исправленный на фон спонтанных делений, а также делений надкадмиевыми нейтронами и нейтронами, рассеянными в мишени, нормировался к значениям, полученным нами ранее [8]. Результаты измерений  $\sigma_f$   $Pu^{238}$  приведены в табл. 2, использованные нами опорные значения  $\sigma_f$   $U^{235}$  были взяты из работы [9]. На рис. 1 представлены хорошо согласующиеся между собой данные о  $\sigma_f$   $Pu^{238}$  настоящей работы и работ [8–10]. Подробные данные в области  $0,1 \leq E_n \leq 1,5$  МэВ из работ [1, 2] в среднем на 20–30% выше, однако относительный ход  $\sigma_f$  очень близок к приведенному на рис. 1.

Как нам стало недавно известно из работы [11], диапазон энергий 1–10 кэВ изучен в эксперименте, в котором в качестве источника нейтронов использован ядерный взрыв [12]. Результаты этих измерений обнаруживают резонансную структуру с шириной резонансов примерно 0,1–0,2 кэВ и средним расстоянием между ними  $\sim 1$  кэВ, которая в работе [11] связывается с квазистационарными состояниями делящегося ядра  $Pu^{239}$  во второй яме. Энергетическое разрешение наших измерений сильно сглаживает эту структуру, однако данные обоих экспериментов (если усреднить значения работы [12] по интервалам  $2\Delta E_n$ , указанным в табл. 1) согласуются вполне удовлетворительно.

На рис. 2 наряду с экспериментальными данными о  $\sigma_f$   $Pu^{238}$  приведены сечения образования составного ядра  $\sigma_c$  и его парциальные компоненты  $\sigma_c^{(l)}$  для  $s$ -,  $p$ -,  $d$ -нейтронов. Даже не

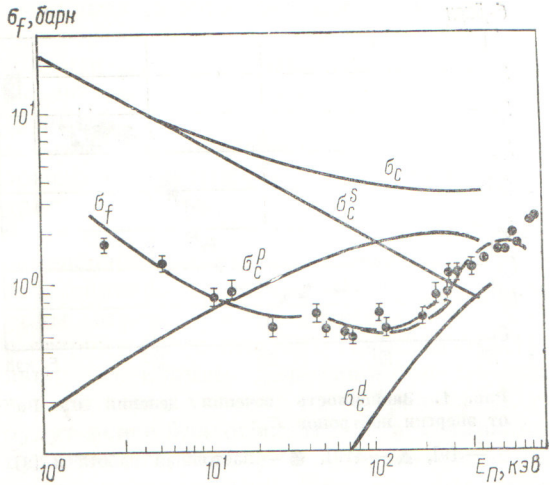


Рис. 2. Сравнение результатов расчета и эксперимента:  $\sigma_c$  и  $\sigma_c^{(1)}$  — сечение образования составного ядра и его парциальные компоненты соответственно для  $s$ -,  $p$ -,  $d$ -нейтронов. Сплошная кривая  $\sigma_f$  — расчет по формулам (1) — (3); пунктир — расчет с учетом всех доступных состояний  $K \leq 7/2$ .

прибегая к детальному анализу, из сравнения приведенных характеристик можно заключить, что деление  $Pu^{238}$   $s$ -нейтронами играет значительную роль. Энергетическая зависимость сечения деления  $Pu^{238}$  в области энергий нейтронов менее 50 кэВ качественно не отличается от хода  $\sigma_f(E)$   $U^{233}$ ,  $U^{235}$ ,  $Pu^{239}$  и других изотопов, хорошо делящихся медленными нейтронами [2].

Для качественного сопоставления вероятности деления  $Pu^{238}$   $s$ - и  $p$ -нейтронами мы рассчитали сечение деления по формуле статистической теории Хаузера и Фешбаха

$$\sigma_f = \frac{\pi \lambda^2}{2} \sum_{J, K, \pi} (2J+1) \times \\ \times T_l^J \frac{P_{K\pi}}{\sum_{K' \leq J} P_{K'\pi} + \sum_{l', j', v} T_{l'}^{j'} (E_n - E_v) + \frac{2\pi}{D_J} \Gamma_\gamma} \quad (2)$$

в предположении, что проницаемости для  $s$ - и  $p$ -нейтронов равны, т. е.

$$P_{JK\pi} = P_{K\pi} = P_{1/2+} = P_{1/2-} = P_{3/2-}, \quad (3)$$

где  $K$  — проекция углового момента составного ядра  $J$  на ось симметрии;  $\lambda$  — длина волны нейтрона;  $T_l^J$  — коэффициенты проницаемости нейтронов с орбитальными моментами  $l$  [13];  $\pi = (-1)^l$ ;  $j' = l' \pm 1/2$ ;  $E_v$  — уровни ядра-мишени;  $D_J = \frac{2D_{1/2}}{2J+1}$  — расстояние между уровнями составного ядра со спином  $J$  ( $D_{1/2} =$

$= 10$  ээ);  $\Gamma_\gamma = 30$  МэВ — радиационная ширина. Сплошная кривая  $\sigma_f(E_n)$  на рис. 2 рассчитана с использованием формул (1) — (3) и соответствует параметрам  $E_f = 0,5$  МэВ,  $\hbar\omega/2\pi = 0,115$  МэВ,  $P(0) = 10^{-2}$ ,  $\Gamma_f(0) = 15$  МэВ. Последняя величина лишь в три раза превосходит оценку  $\bar{\Gamma}_{fr}$  в работе [13]. Пунктиром показаны результаты расчета, в котором предположение (3) распространено на доступные по угловому моменту состояния  $K \leq 7/2$  обеих четностей.

Принимая во внимание узость интервала, по которому усреднены ширины отдельных резонансов  $\Gamma_{fr}$  в работе [4], наличие сложной структуры  $\sigma_f(E_n)$ , обусловленной квазистационарными состояниями во второй яме, а также приближенность исходных предпосылок настоящего анализа, не имеет смысла придавать серьезное значение расхождению  $\bar{\Gamma}_{fr}$  и  $\Gamma_f(0)$ . Результаты данного эксперимента свидетельствуют об отсутствии каких-либо значительных запретов для деления  $Pu^{238}$   $s$ -нейтронами. Этот вывод подтверждается также результатами совместного анализа сечений и угловой анизотропии реакций  $Pu^{239}(\gamma, f)$  и  $Pu^{238}(n, f)$  в работе [14].

Авторы выражают признательность М. К. Голубевой за просмотр стеклянных детекторов.

Поступила в Редакцию 11/V 1970 г.

#### ЛИТЕРАТУРА

- П. Е. Воротников и др. «Ядерная физика», 3, 479 (1966).
- Neutron Cross Sections. BNL-325, 2 nd Ed., Suppl. No. 2, Vol. III, 1965.
- G. James. In «Proc. Simp. on Phys. and Chem. of Fission» (Salzburg, 1965). Vol. 1. Vienna, IAEA, 1965, p. 235.
- C. Bowman et al. Phys. Rev. Letters, 18, 15 (1967).
- Е. В. Гайд и др. «Ядерная физика», 10, 542 (1969).
- E. Migneco, G. Theobald. Nucl. Phys., A112, 603 (1968); A. Fubini et al. Phys. Rev. Letters, 20, 1373 (1968).
- С. Б. Ермагамбетов, Г. Н. Смиринкин. «Письма ЖЭТФ», 9, 510 (1969).
- С. Б. Ермагамбетов, Г. Н. Смиринкин. «Атомная энергия», 25, 527 (1968).
- Neutron Cross Section. BNL-325, Suppl. No. 2, Vol. III, 1965; W. Davey. Nucl. Sci. Engng, 26, 149 (1966).
- D. Barton, R. Koontz. Phys. Rev., 162, 1070 (1967).
- J. Lynn. In «Proc. Simp. on Phys. and Chem. of Fission». Vienna, IAEA, 1969, p. 249.
- M. Silbert. Report LA-4108-MS, 1969.
- С. Б. Ермагамбетов и др. «Ядерная физика», 8, 704 (1968).
- A. С. Солдатов, Ю. М. Ципенюк, Г. Н. Смиринкин. «Ядерная физика», 11, 992 (1970).